

Valores extremos de la tasa de inflación en Costa Rica

Daniel Aguilar and Breyner Chacón

7 de diciembre, 2023

1. Introducción

Mantener niveles de inflación bajos, no negativos y estables es una condición necesaria para la estabilidad de la economía en su conjunto, por que las autoridades monetarias de la mayor aprte de países industrializados, incluyendo el Banco Central de Costa Rica desde el 2005, han orientado su política monetaria justo a ese cometido. Aún así, tanto en Costa Rica como internacionalmente la mayor parte de la modelación estadística de la inflación se ha limitado a modelar su esperanza condicionada a distintas covariables bajo el uso de modelos lineales. Ello implica un desconocimiento de la dinámica de los *valores extremos* de la tasa de inflación y cómo estos se relacionan con otras variables macroeconómicas. En Costa Rica esto es de particular importancia ya que en varios periodos recientes se han experimentado tasas de inflación intertrimestral negativas, lo cual puede ser problemático si ello se torna en un fenómeno recurrente. Por ello, en este trabajo se plantea responder cuál es la relación entre la brecha del PIB, expectativas de inflación, tasa de inflación importada, y los valores extremos de la tasa de inflación en Costa Rica. Es decir, se plantea como objetivo principal determinar la relación entre los valores extremos de la de la tasa de inflación, brecha del PIB, expectativas de inflación e inflación importada.

2. Marco teórico

2.1. La inflación en la teoría económica moderna

En la actualidad, toda discusión sobre los determinantes y relaciones de la tasa de inflación se centra en un grupo de modelos crucial: las curvas de Phillips. En su versión actual, la tasa de inflación depende positivamente de dos factores fundamentales: alguna medida de la actividad económica real y las expectativas de inflación. La conjunción de estos dos factores como determinantes del fenómeno inflacionario se puede comprender como el resultado de un proceso histórico en la evolución de la teoría económica. Por ello en esta sección se expone primero una breve síntesis de la evolución de las teorías de inflación para luego exponer la teoría vigente.

2.1.1. La curva de Phillips

El primer modelo inflacionario adoptado ampliamente por la comunidad académica es el modelo presentado por (Phillips, 1958). En este la inflación π_t depende negativamente de la tasa de desempleo u_t de la forma:

$$\pi_t = \lambda u_t^{-\alpha} + \beta_0; \lambda, \alpha > 0 \quad (1)$$

Esta relación se atribuyó a la idea de que, a mayor exceso de oferta en el mercado laboral, i.e., a mayor desempleo, mayor debía ser el valor absoluto del cambio porcentual en los salarios y, en la medida en la que estos influyen los precios, menor debía ser la tasa de inflación. El caracter no lineal de (1) se atribuía a la rigidez a la baja de los salarios nominales¹: aumentos en la tasa de desempleo tenían un menor efecto sobre los salarios en la medida en

¹Este era un fenómeno cuya recurrencia era aceptada.

la que estos se “resistían” a disminuir. Durante la década de 1960 esta fue la teoría predominante sobre inflación y 1 disfrutó de cierto éxito empírico.

2.1.2. Expectativas y tasa de desempleo natural

A finales de los 60’s, la curva de Phillips sufrió una importante crítica teórica plantada por (Friedman, 1968). La curva de Phillips de entonces implicaba la existencia de un “menú” de combinaciones entre inflación y desempleo a disposición de los bancos centrales. Por ello, se argumentaba que la autoridad monetaria podía disminuir el desempleo vía política monetaria: aumentar la masa de dinero generaría inflación y con ello, como implica (1), el desempleo disminuiría (Gordon, 2011). Para (Friedman, 1968) este no era el caso por cuanto la relación en (1) era inestable ya que omitía el rol de expectativas de los agentes. Estos, al enfrentarse a altas tasas de inflación, cambiarían sus expectativas y así también sus conductas de forma tal que la tasa de inflación efectiva se presionase al alza². Esto implicaba que para todo momento t existía una tasa de desempleo “natural” u_t^N cuyo valor era *independiente* de la inflación y oferta monetaria.

La inestabilidad que esta crítica atribuía (1) se vio empíricamente validada en la década de los 70’s cuando, en un contexto de importantes aumentos en los precios del petróleo, se dieron importantes alzas en la inflación en occidente acompañadas de decrecimiento en la producción y alto desempleo. Todo esto motivó a que se extendiera la curva de Phillips a una versión que puede caracterizarse de la siguiente forma:

$$\pi_t = \beta E_{t-1}\{\pi_t\} + \lambda(u_t - u_t^N) + \gamma \cdot z_t; \quad \gamma, \lambda, \beta. \quad (2)$$

con $E_{t-1}\{\pi_t\}$ la inflación esperada en el periodo previo y z_t un vector de variables representativas de shocks de oferta, (e.g. precio del petróleo) y γ un vector de parámetros. Como las expectativas se consideraban dependientes de la inflación ya observada por los agentes, usualmente se tomaba $E_{t-1}\{\pi_t\}$ como una combinación lineal de rezagos en π_t , particularmente en la modelación econométrica. Adicionalmente se solían incluir rezagos en la brecha en la tasa de desempleo, la cual se podía sustituir por la brecha en el PIB (Gordon, 2011). De esta manera se incorporaron los dos factores fundamentales ya mencionados: una medida de la actividad económica real, dada por $u_t - u_t^N$, y las expectativas. Este fue el modelo predominante en la década de los 80’s y 90’s en círculos académicos y modelación estadística de los determinantes de la inflación.

2.1.3. Modelos de formación de precios de la nueva macroeconomía keynesiana

Si bien el modelo planteado en (2) presentó cierto éxito empírico desde su postulación hasta la actualidad, carece de un fundamento teórico basado en el comportamiento de los agentes individuales que habitan la economía, lo cual, siguiendo la influyente crítica de Lucas (1976), se ha convertido en una exigencia dentro de la economía ortodoxa. Ello llevó al desarrollo de modelos teóricos que admitían relaciones similares a (2) deducidas de las decisiones de agentes racionales que toman decisiones óptimas sujetos a las restricciones impuestas por su entorno económico. De esto surgieron teorías sobre formación de precios que, incorporando rigideces al cambio de precios, permiten la deducción de la llamada curva de Phillips de la Nueva Macroeconomía Keynesiana (NKPC), la cual es parte del actual paradigma sobre fluctuaciones económicas. A fin de ilustrar esto, acá se expone el modelo de formación de precios de Calvo, que es la opción usual encontrada en la literatura (Galí, 2015). En este modelo la economía está poblada por un continuo de firmas indexadas por $i \in [0, 1]$ que se diferencian únicamente por el bien que producen y su historial de precios. Cada periodo, solo una fracción $1 - \theta$ aleatoria de las firmas puede cambiar su precio. Para cada firma, en cada periodo, la probabilidad de pertenecer a una u otra fracción es independiente de su historial de precios. Aquellas firmas que pueden cambiar el precio fijan un precio que optimiza una sumatoria de los valores presentes esperados de los beneficios futuros. De ello y de la condición de equilibrio en el resto de la economía se obtiene la NKPC

$$\pi_t = \beta E_t\{\pi_{t+1}\} + \lambda y_t \quad (3)$$

²Por ejemplo, aumentos en las expectativas de inflación harían que los trabajadores exigiesen salarios más altos, subiendo así los costos de las empresas y con ello los precios. Adicionalmente, cualquier aumento en la demanda generado por la disminución de los tipos de interés que acompañan a una expansión de la oferta monetaria sería efímero al ver los agentes un alza en la inflación

donde $E_t\{\pi_{t+1}\}$ son las expectativas en t respecto de π_{t+1} , y_t es la desviación logarítmica del PIB respecto de su nivel natural³, $\beta > 0$ es un factor de descuento *sobre la utilidad de los hogares* y $\lambda = \theta^{-1}(1 - \theta)(1 - \beta\theta) > 0$. De esta manera la inflación en t depende (positivamente) de las expectativas que hoy se tienen respecto de la inflación futura y del exceso en la producción agregada sobre las capacidades de la economía. La NKPC en (3) constituye el modelo básico sobre inflación en la actual ortodoxia económica y se utiliza como punto de partida para posibles extensiones. Crucialmente, la NKPC contrasta con (2) en el hecho de que son las expectativas *actuales sobre la inflación presente* y no las expectativas previas sobre la inflación de hoy (Gali y Gertler, 1999).

2.2. Valores extremos de la inflación y teoría económica

En la sección previa se describió la teoría económica básica sobre inflación en la actualidad. En la medida en la que este trabajo trata sobre extremos de tal variable, es necesario considerar cómo la teoría económica trata en particular tal fenómeno, para lo cual acá se exponen dos principales teorías.

Primero, la teoría esbozada previamente puede explicar la presencia de valores extremos en la tasa de inflación. En particular, ante *shocks* de oferta, como aumentos súbitos del precio de hidrocarburos la teoría anterior predice aumentos en la inflación; lo mismo para tipos de interés internacionales y condiciones de crédito en el país. Similarmente, la teoría da un rol importante a las expectativas las cuales muchas veces se postulan como dependientes del entorno económico y, en particular, de la inflación observada en el pasado. De ello se sigue que la presencia de valores extremos en la inflación tienen el potencial de reproducirse. Por otro lado, las relaciones que la teoría básica establece puede usarse para ver cómo responden los valores extremos de la distribución de la inflación a cambios en el entorno económico. Por ejemplo, (Lopez-Salido y Loria, 2022) estudian las colas de la distribución condicional de la tasa de inflación de Estados Unidos y la eurozona utilizando regresión cuantílica especificada de la forma:

$$Q_\tau(\bar{\pi}_{t,t+4}) = (1 - \lambda_\tau)\pi_{t-1}^* + \lambda_\tau\pi_t^{LTE} + \theta_\tau(u_t - u_t^N) + \gamma_\tau(\pi_t^I - \pi_t) + \delta_\tau cs_t \quad (4)$$

con $\bar{\pi}_{t,t+4}$ la inflación interanual entre los trimestres t y $t + 4$, π_{t-1}^* la inflación interanual promedio de los cuatro trimestres previos, π_t^{LTE} las expectativas de inflación a largo plazo y cs_t el diferencial de crédito entre bonos corporativos y de gobierno. Este modelo constituye una versión de la NKPC extendida y aplicada sobre los cuantiles. De su trabajo resaltan dos resultados. Primero, para todos los parámetros excepto γ , encuentra una diferencia significativa entre los valores que toman en los cuantiles del 10% y 50%, lo que sugiere que un efecto asimétrico de las variables en cuestión sobre el fenómeno inflacionario. Segundo, encuentran diferencias importantes en la forma de las distribuciones predictivas estimadas para momentos particulares de su muestra. En particular, para varios trimestres en el 2008 y 2009, tras la crisis financiera de entonces, las densidades presentaban importante probabilidad de deflación y se encontraban a la izquierda de las correspondientes a trimestres de 1999 y 1995.

Segundo, se tiene la teoría de deuda-deflación, que puede resumirse como un círculo de causalidad entre variables económicas que genera deflación de forma sistemática. En síntesis, la teoría indica que, episodios sostenidos de deflación generan aumentos de la deuda *real* de los agentes (ya que el monto de la deuda contraída previamente no cambia pero sí bajan sus ingresos) lo que puede generar disminuciones en la producción, lo cual, a su vez, presiona los precios a la baja, generando aún más deflación y perpetuando el fenómeno. De esta forma la deflación no solo se puede autopropagar vía expectativas como se vio antes pero también vía el valor de la deuda⁴. Para que se dé este proceso retroalimentativo no es necesario que ocurra deflación “de la nada”, lo cual no es usual, sino que una recesión puede constituir el desencadenante del ciclo vicioso.

3. Características generales de los datos y fuentes de información

La población de estudio viene dada por el proceso generador de datos de la tasa de inflación intertrimestral de Costa Rica. La muestra tomada corresponde a los datos del primer trimestre del 2000 al segundo del 2023 (Banco

³Es decir, $y_t = \ln(Y_t) - \ln(Y_t^N)$ con Y_t^N el PIB natural

⁴En Costa Rica esto es bastante importante dado el nivel de endeudamiento de los hogares.

Central de Costa Rica, 2023), lo cual se hace por el hecho de que previo a tales fechas, no se cuenta con valores de la variable expectativas de inflación e inflación de materias primas. Todos los datos crudos fueron obtenidos directamente de la página web del Banco Central de Costa Rica (BCCR). Para estimar el valor del PIB natural se utilizó la tendencia extraída con el filtro Hodrick-Prescott (HP), como es usual en parte importante de la literatura.

4. Análisis exploratorio de datos

4.1. Medidas básicas

En el cuadro 1 se muestran las medidas básicas de dispersión y tendencia central de las variables. Destaca el hecho de que, en promedio, la brecha en el PIB ha sido negativa, lo cual sugiere una economía relativamente desacelerada y, por ende, con presiones deflacionarias por parte del sector real de la economía. La inflación por su parte ha sido positiva al menos en el 75 % de los registros, sin embargo es de notar que existen mínimos negativos de esta inflación. Por otro lado en los cuadros 2 y 3 se tienen las estadísticas anterior y posterior a la crisis subprime del 2008 que representó un posible cambio estructural tanto en inflación como en brecha del producto interno bruto, en donde se pueden apreciar que hay cambios en la mediana y media siendo valores mayores en el primer reciente, donde el mínimo no es negativos, mientras que en el segundo sí lo es.

	Mínimo	Primer cuartil	Mediana	Media	Tercer cuartil	Máximo
Inflación	-0.009246	0.004372	0.013609	0.014649	0.023351	0.048351
Expectativa inflación	0.000296	0.000383	0.000621	0.000635	0.000760	0.001274
Brecha PIB	-0.102319	-0.021706	0.001631	-0.001224	0.018782	0.056714
Brecha inflación	-0.600245	-0.056064	0.006304	-0.004219	0.064201	0.260430
Inflación Importada	-0.58186	-0.04122	0.01950	0.01043	0.07521	0.25992

Cuadro 1: Estadísticas descriptivas.

	Mínimo	Primer Cuartil	Mediana	Media	Tercer Cuartil	Máximo
Inflación	0.009143	0.021250	0.024394	0.026493	0.031357	0.048351
Brecha PIB	-0.0477078	-0.0284269	0.0035976	0.0005334	0.0256752	0.0567137

Cuadro 2: Estadísticas de inflación y brecha del PIB, 2000-2008

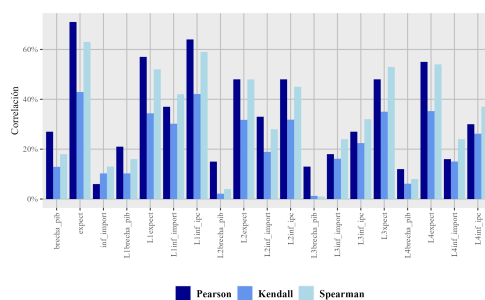
	Mínimo	Primer Cuartil	Mediana	Media	Tercer Cuartil	Máximo
Inflación	-0.009246	0.001078	0.005413	0.007503	0.011644	0.047598
Brecha PIB	-0.1023185	-0.0169941	-0.0001721	-0.0022852	0.0171870	0.0463569

Cuadro 3: Estadísticas de inflación y brecha del PIB, 2009-2023

Por otro lado, a fin de explorar la dependencia de la inflación y las covariables, en la figura 1 se muestran las correlaciones de Pearson, Kendall y Spearman entre la primera y las segundas, incluyendo el valor contemporáneo y hasta cuatro de los rezagos de estas últimas. Para todas los casos, los estadísticos mostrados presentan valores positivos, lo que sugiere que estas tienen una influencia directa sobre la inflación, como indica también la teoría. La brecha del PIB presenta mayor dependencia en su valor contemporáneo que en los rezagos, siendo el segundo y tercero no inferiores al 20 % bajo los tres estadísticos; aún así su valor contemporáneo y primer rezago parecen tener una dependencia débil, superando solo el 20 % bajo la medida de correlación de Pearson. En el caso de las expectativas de inflación su dependencia es mucho mayor, siendo más fuerte en el valor contemporáneo que en

los rezagos, si bien estos parecen tener también bastante influencia sobre la inflación. La inflación de materias primas importadas presenta medidas de dependencia bajas en su valor contemporáneo mientras que, para el primer y segundo rezagos estas se vuelven bastante altas y, para el tercero y cuarto vuelven a niveles bajos. Esto es de esperar por cuanto es razonable asumir que existe un rezago entre la compra de insumos en los mercados internacionales y el subsecuente efecto de este sobre los precios de los bienes de consumo final. Finalmente, la tasa de inflación presenta alta dependencia con sus autos rezagos, particularmente el primero y segundo.

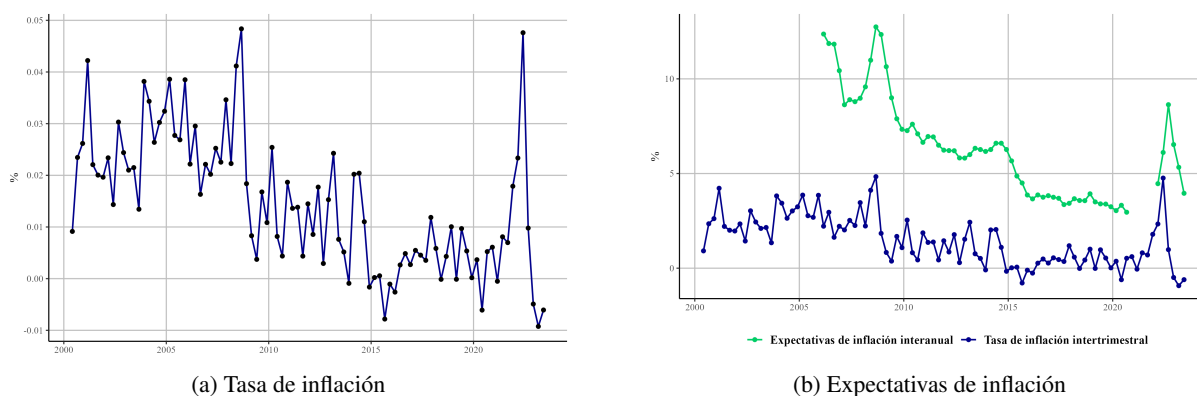
Figura 1:
Medidas de dependencia y correlación entre inflación intertrimestral y covariables



4.2. Evolución de variables

En esta subsección se examina la evolución de cada una de las covariables en conjunto con la tasa de inflación. Primero, en el gráfico 2a se muestra la evolución de la tasa de inflación. Destacan dos cosas. Primero, se pueden distinguir dos periodos: previo al 2009 se observan valores más altos y con una mayor volatilidad, mientras que, de ese año en adelante la tasa de inflación disminuye a valores cercanos al 1% y su variabilidad baja. Segundo, se presentan varios trimestres con deflación alrededor del 2015⁵ y luego del 2020, incluyendo los dos primeros trimestres del 2023. Similarmente, en la figura 2b se observa la tasa de inflación y las expectativas de inflación, donde destaca el hecho de que ambas variables presentan disminución importante luego del 2009 lo que sugiere una respuesta de las expectativas de los agentes ante los cambios en la tasa de inflación observada.

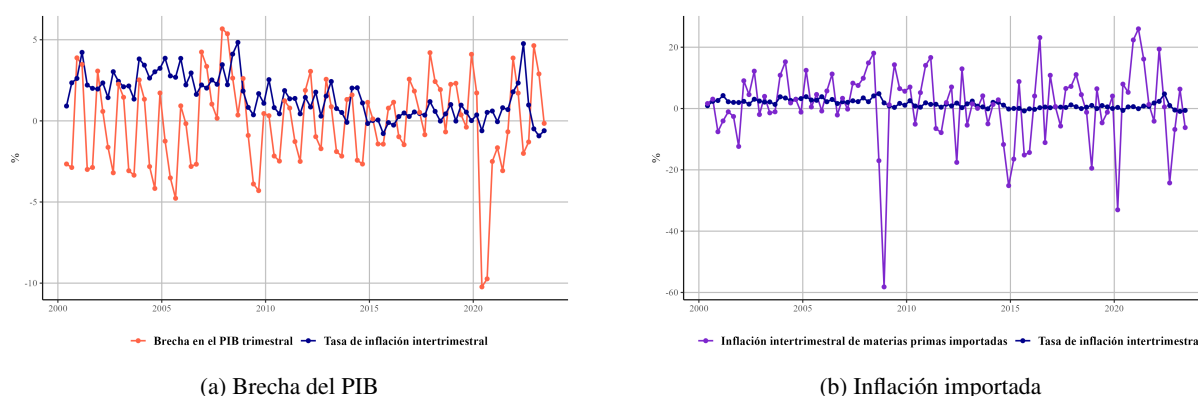
Figura 2:
Tasa de inflación intertrimestral y expectativas de inflación interanuales, 2000-2023



⁵En particular, el cuarto semestre del 2013 y 2014, el tercer y cuarto semestre del 2015 y primero del 2016, el segundo del 2018 y primero del 2019, presentan tasa de inflación negativa.

En la figura 3a se muestra la tasa de inflación y brecha del producto. Destacan tres observaciones. Primero, la brecha del producto parece tener un importante componente estacional con importantes subidas en el primer trimestre del año. Segundo, la tasa de inflación parece tener un comportamiento procíclico en el sentido de presentar variaciones en la misma dirección que la brecha en el PIB, lo cual coincide con las medidas de correlación obtenidas. Tercero, exceptuando las observaciones del 2020 y 2021, los trimestres con deflación han estado acompañados de brechas en el PIB no negativas o negativas pero relativamente cercanas a cero. Esto destaca particularmente si se comparan tales valores de la brecha con los observados en varios trimestres pre 2009, en los que la brecha es negativa y bastante menor, pero no se observa deflación. Esto sugiere la posibilidad de efectos asimétricos de la brecha sobre la tasa de inflación, siendo mayor la presión que le ejerce al subir que al bajar.

Figura 3:
Brecha del PIB trimestral e inflación intertrimestral de materias primas importadas, 2000-2023



En la figura 3b se muestra la tasa de inflación de materias primas importadas y tasa de inflación doméstica. Para todo el periodo las materias primas importadas presentan una mayor volatilidad en el cambio de sus precios y presentan valores absolutos más altos que la inflación doméstica. Se pueden observar fuertes periodos de deflación en las importaciones de materias primas alrededor del 2015 lo cual podría explicar la deflación observada en los precios domésticos en ese mismo periodo.

4.3. Extremos en la tasa de inflación

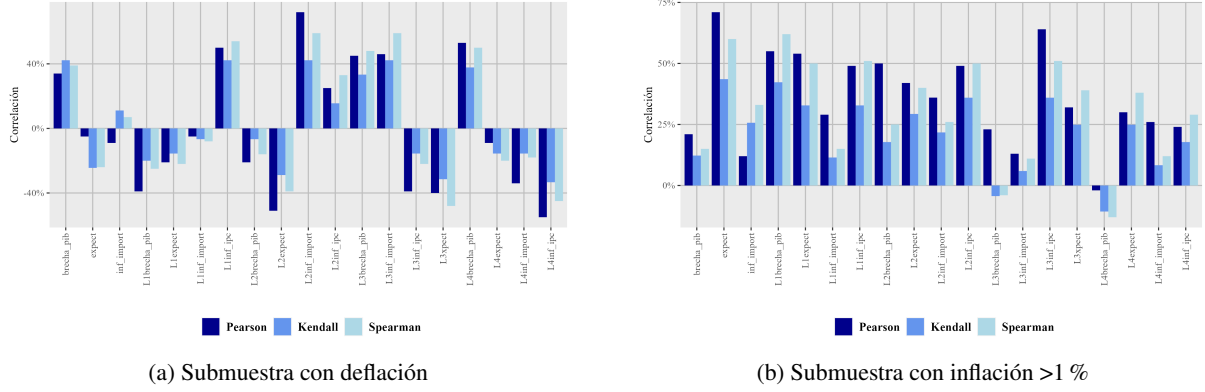
En esta subsección se profundiza en el análisis descriptivo a fin de contemplar las posibles relaciones de las covariables con los extremos de inflación. En la figura 4 se presentan las medidas de correlación y dependencia para dos submuestras, una con los periodos de deflación y otros donde la inflación supera el 1%⁶. En el segundo caso la medidas son muy similares a las de la muestra completada observadas en la figura 1. Sin embargo, en el caso con deflación existen dos importantes diferencias. Primero, las expectativas de inflación, en su valor contemporáneo y todos sus rezagos, presentan ahora una dependencia negativa y menor al de la muestra completa. Lo mismo sucede con el segundo y tercer rezago en la brecha del PIB y el valor contemporáneo y primer rezago de la inflación importada. Segundo, el tercer y cuarto rezago de la brecha del PIB, así como el segundo y tercero de la inflación de materias primas importadas, se mantiene positivos y su valor aumenta de forma importante. Todo esto se puede interpretar de la siguiente manera. Estas últimas covariables parecen ser responsables de *shocks* deflacionarios⁷. Por otro lado, las primeras, parecen influenciar a la tasa de inflación en general a través de todo el ciclo económico y de forma positiva. Ante un shock deflacionario, estas segundas sigue su comportamiento “usual” pero la inflación

⁶Las medidas obtenidas son casi idénticas para la submuestra con tasa de inflación superior al 2%.

⁷En efecto, presentan una dependencia positiva y alta con la inflación que se manifiesta únicamente en periodos con deflación.

disminuye en dirección contraria y, por ello, los estadísticos de las segundas se recogen negativos y en menor valor absoluto.

Figura 4:
Medidas de dependencia y correlación entre inflación intertrimestral y covariables para submuestras



5. Metodología

En la literatura estadística es común modelar la ocurrencia de extremos utilizando herramientas de la teoría de valores extremos como modelos de excesos sobre umbrales y de máximos de bloque (Coles, Bawa, Trenner, y Dorazio, 2001), en los que, para series de tiempo, se asume estacionariedad del proceso que les genera. En el contexto de este trabajo este supuesto es altamente cuestionable, por lo que, siguiendo a (Lopez-Salido y Loria, 2022) se ha decidido aplicar regresiones cuantílicas, que tienen la virtud de no requerir estacionariedad en el proceso generador de datos. Además de esto, la regresión cuantílica tiene la virtud de permitir modelar los cuantiles de la distribución de la variable explicada en términos de varias covariables, de forma que, en el contexto de este trabajo, se puede determinar la influencia de las covariables sobre la tasa de inflación *en distintos extremos de su distribución*. En esta sección primero se expone la teoría estadística básica acerca de la regresión cuantílica y, luego, se explica la forma particular en la que esta se usa en este trabajo.

5.1. Regresión cuantílica

Dados una v.a. Y y vector $X = (X^{(1)}, \dots, X^{(p)})$ de covariables los τ -cuantiles incondicional y condicional de Y dado $X = x \in \mathbb{R}^p$ se definen, respectivamente,

$$Q(\tau) = \inf\{y : F_Y(y) \geq \tau\}$$

$$Q(\tau|X = x) := \inf\{y : F_{Y|X}(y|x) \geq \tau\}$$

Una propiedad fundamental que cumplen los cuantiles es:

$$Q(\tau) = \underset{c}{\operatorname{argmin}} \mathbb{E}(\rho_\tau(Y - c)) \quad (5)$$

donde $\rho_\tau(u) := (\tau - \mathbb{1}_{\{u < 0\}})u$ es una función de distancia. Dada una muestra $((Y_i, X_i))$, no necesariamente independiente, el proceso generador de datos es

$$Q(\tau|X_i) = \beta_0 + \sum_{j=1}^p \beta_j X_i^j + \epsilon_i \forall i = 1, \dots, n$$

para un vector de parámetros $\beta = (\beta_j)_{j=0}^p$ y términos de error $(\epsilon_i)_{i=1}^n$. El estimador utilizado en la literatura, así como acá, constituye una versión muestral de (5):

$$\hat{\beta} = \underset{\beta}{\operatorname{argmin}} \sum_{i=1}^n \rho_{\tau}(Y_i - \sum_{j=1}^p \beta_j X_i^{(j)})$$

Se puede realizar inferencia sobre los parámetros aprovechando que, incluso en presencia de errores dependientes y/o correlacionados, estos son asintóticamente normales y, por tanto, se pueden usar las pruebas usuales aplicadas en regresión lineal.

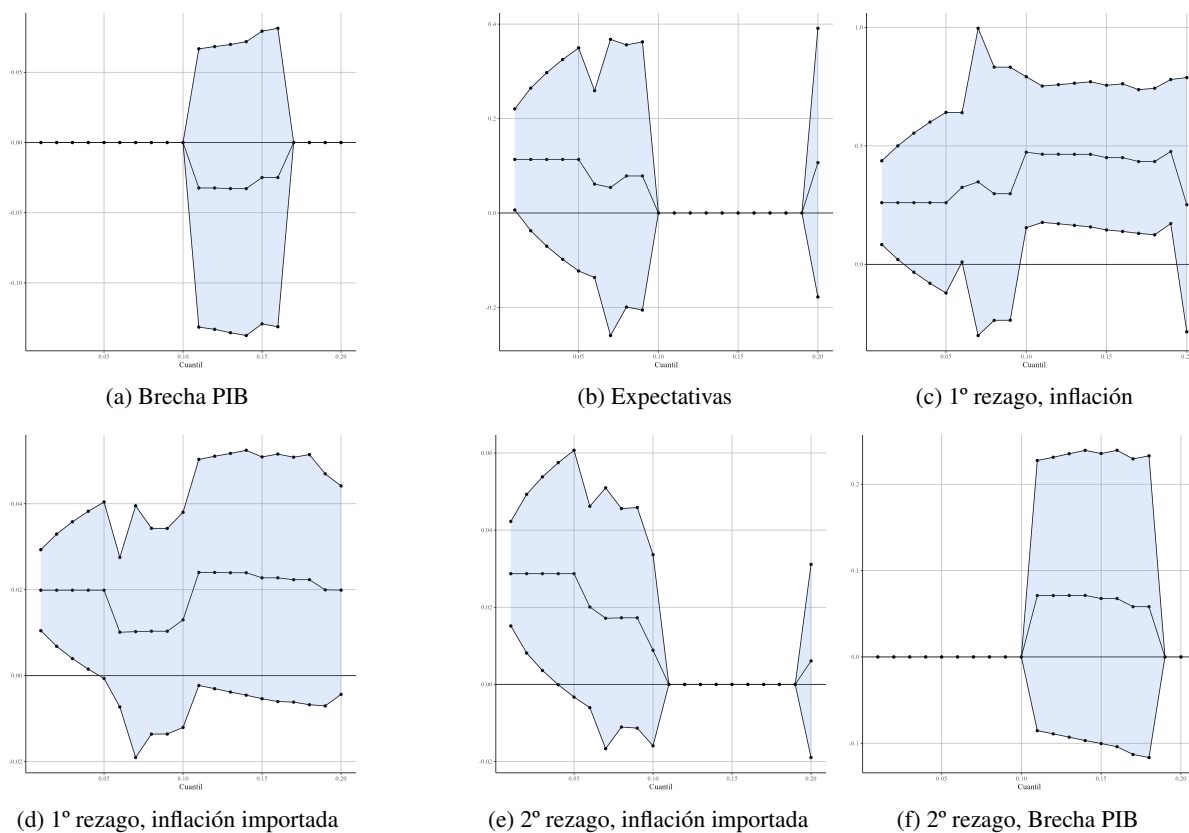
5.2. Extremos de la tasa de inflación y regresión cuantílica

Siguiendo a, Lopez-Salido y Loria (2022), en este trabajo se estiman regresiones cuantílicas para extremos de la distribución de la tasa de inflación. Estos autores estiman regresiones para los cuantiles 1 %, 50 % y 90 %. Extendiendo su metodología, acá se estiman regresiones para los cuantiles 1 %, 2 %, ..., 20 %, a fin de estudiar la cola inferior de la distribución, y 80 %, ..., 99 %, para la cola superior. Para la estimación se utiliza una base de datos con los valores de las covariables en su valor contemporáneo, un rezago en la tasa de inflación. Además, considerando lo discutido en la sección 4.3, para la brecha del PIB se incluye el tercer y cuarto rezago y, para la inflación de materias, primas importadas, el primer y tercer rezago. Esto se realiza a fin de mitigar los efectos de alta multicolinealidad entre las covariables pero, a su vez, tomar en cuenta que muchas de las variables macroeconómicas como las acá examinadas suelen tener efectos rezagados sobre la inflación, como se vio previamente en el análisis descriptivo. Para cada cuantil se utiliza un criterio de selección de mejores subconjuntos en las que, de todas las posibles especificaciones del modelo dada la base, se elige aquella con un menor AIC. En cada regresión se realizaron pruebas de significancia de los coeficientes usando los errores estándar estimados por el método de Kernell de Powell que es robusto ante errores correlacionados y/o heteroscedásticos (Koenker, 2005).

6. Resultados

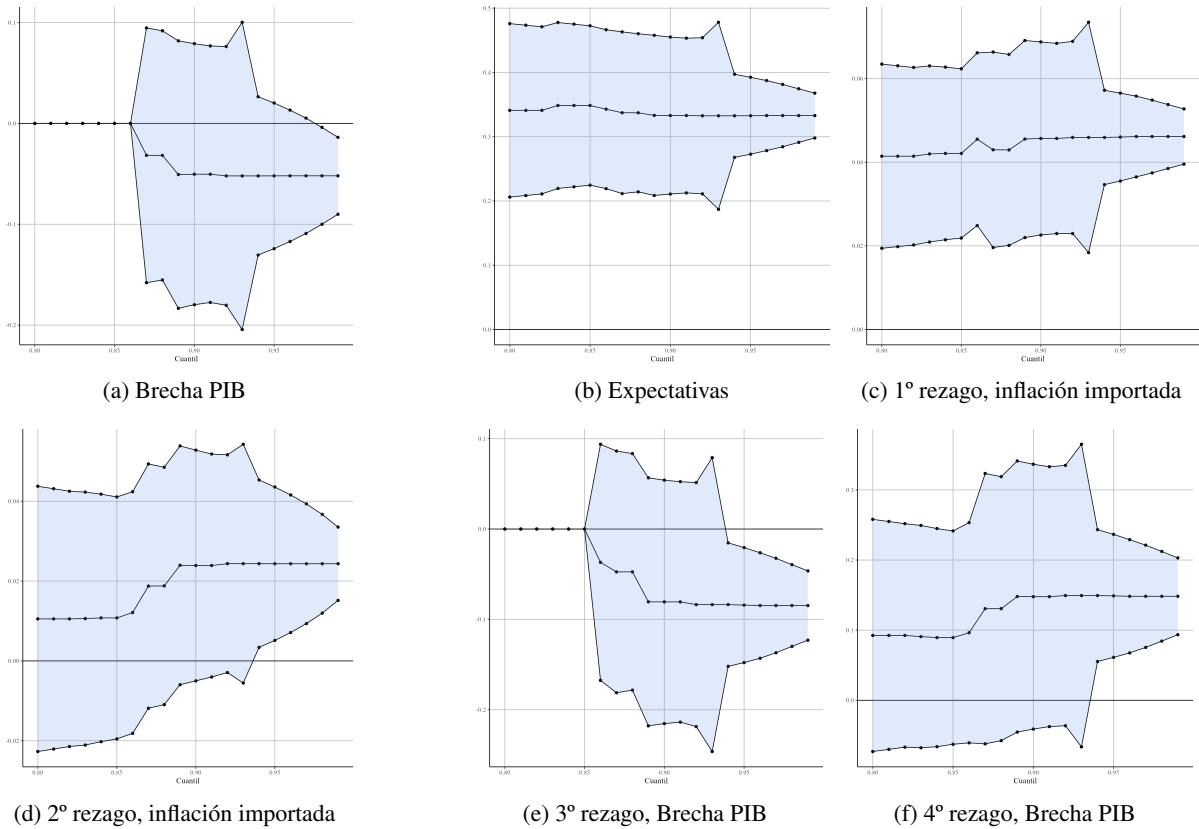
En la figura 5 se muestran los coeficientes estimados e intervalos de confianza al 5 % para las covariables seleccionadas por cuantil de la cola inferior. Para los cuantiles del 1 % al 10 % las variables seleccionadas por el algoritmo desarrollado fueron las expectativas de inflación contemporáneas, primer y segundo rezago de la inflación importada, y primer rezago de la inflación; todas presentan coeficientes positivos, lo que sugiere que disminuciones en estas mueven la cola inferior de la distribución hacia la izquierda, haciendo más probable eventos deflacionarios. Similarmente, en unísono con lo visto en la sección 4.3, la inflación importada parece tener un efecto rezagado sobre los cuantiles inferiores, lo que puede explicar los periodos de deflación ocurridos cerca del 2015. Nótese que, a pesar de que en general la brecha del PIB y su segundo rezago mantuvieron correlación alta para los valores en general, en el caso de valores mínimos no aportaron valor, lo cual coincide con el hecho de que este gap fue cercano a cero en periodos de deflación y que la inflación parecía no responder ante *shocks* en la brecha del PIB (vea figura 3a), como se vio en el análisis exploratorio, de manera que se entiende porqué no desacelera los percentiles bajos de la inflación. Conforme nos alejamos de la cola inferior, i.e., del cuantil del 10 % en adelante, en su mayoría, el segundo rezago de la inflación importada desaparece y la brecha del PIB entra al modelo, tanto en su valor contemporáneo y primer rezago. Los signos de estas dos coinciden con la posible interpretación, planteada en la sección 4.3, de que *shocks* a la baja en la brecha pueden tener efectos rezagados deflacionarios que la brecha contemporánea “intenta corregir”, si bien este efecto parece solo darse para valores no tan bajos en la tasa de inflación. En general, la inflación e inflación importada rezagadas parecen ser importantes.

Figura 5:
Coeficientes estimados por cuantil, cola inferior



Por otro lado, en la figura 6 se muestran los resultados para las colas superiores. Las expectativas, el cuarto rezago de la brecha del PIB, y los dos primeros rezagos de la inflación importada entran en todos los cuantiles y con coeficientes positivos, lo que coincide con las ideas teóricas. Sin embargo, el segundo y tercer rezago de la brecha entran negativos, para lo cual no encontramos una interpretación obvia. Es destacable que en ninguno de los cuantiles superiores entró el rezago en la inflación, lo que sugiere que la probabilidad de valores altos en la tasa de inflación no está relacionada con valores altos de la inflación previa, i.e., no hay inercia. Debe tomarse en cuenta que, si bien varias de las variables resultan no significativas, la prueba de significancia utilizada obedece a propiedades asintóticas y para un único estimador del error estándar, por lo que deben tomarse con cautela, mientras que el AIC utilizado para la selección de modelo es más confiable.

Figura 6:
Coeficientes estimados por cuantil, cola superior



7. Conclusiones

En esta investigación se buscó determinar la relación de varias variables macroeconómicas y los extremos de la tasa de inflación. Para ello se utilizaron regresiones cuantílicas para varios cuantiles en las colas inferior y superior. Para los valores inferiores se obtuvo que la inflación de materias primas importadas tienen un efecto rezagado y positivo sobre la cola inferior de la distribución de manera que shocks a la baja de la primera mueve a la izquierda la cola inferior de la inflación deoméstica en trimestres posteriores. Este fenómeno así como las expectativas e infercia inflacionaria parecen ser las principales fuerzas que actúan sobre la cola inferior, manifestándose la brecha del PIB hasta cuantiles más allá del 10 %. Para los valores superiores se obtuvo que las expectativas y rezagos en la inflación importada son las variables más relevantes y tienen una relación positiva con los valores extremos de la inflación. Sin embargo, entra la brecha y uno de sus rezagos con coeficiente negativo, lo que dificulta la interpretación. Como limitaciones destacan tres características del estudio. Primero, el filtro utilizado para computar el PIB potencial es el HP, por lo que los resultados podría no ser robustos ante otros métodos. Segundo, la inferencia se realizó apelando a propiedades asintóticas y bajo un único estimador de los errores estándar.

Dentro de las oportunidades de mejora se encuentra el utilizar el método de bootstrap que recomienda la literatura con el fin de obtener los intervalos de confianza sin requerir de supuestos adicionales

Referencias

- Banco Central de Costa Rica. (2023). *Indicadores económicos. [base de datos: Expectativas de inflación y de variación cambiaria]*. Descargado de <https://www.bccr.fi.cr/indicadores-economicos/expectativa>
- Coles, S., Bawa, J., Trenner, L., y Dorazio, P. (2001). *An introduction to statistical modeling of extreme values* (Vol. 208). Springer.
- Friedman, M. (1968). The role of monetary policy. *The American Economic Review*, 58(1), 1–17. Descargado 2023-09-28, de <http://www.jstor.org/stable/1831652>
- Galí, J. (2015). *Monetary policy, inflation, and the business cycle: an introduction to the new keynesian framework and its applications*. Princeton University Press.
- Gali, J., y Gertler, M. (1999). Inflation dynamics: A structural econometric analysis. *Journal of Monetary Economics*, 44(2), 195-222. Descargado de <https://www.sciencedirect.com/science/article/pii/S0304393299000239> doi: 10.1016/S0304-3932(99)00023-9
- Gordon, R. J. (2011). The history of the phillips curve: Consensus and bifurcation. *Economica*, 78(309), 10–50. Descargado 2023-09-29, de <http://www.jstor.org/stable/41236106>
- Koenker, R. (2005). *Quantile regression* (Vol. 38). Cambridge university press.
- Lopez-Salido, D., y Loria, F. (2022). Inflation at risk. *Available at SSRN 4002673*.
- Lucas, R. E. (1976). Econometric policy evaluation: A critique. *Carnegie-Rochester Conference Series on Public Policy*, 1, 19-46. Descargado de <https://www.sciencedirect.com/science/article/pii/S0167223176800036> doi: [https://doi.org/10.1016/S0167-2231\(76\)80003-6](https://doi.org/10.1016/S0167-2231(76)80003-6)
- Phillips, A. W. (1958). The relation between unemployment and the rate of change of money wage rates in the united kingdom, 1861-1957. *Economica*, 25(100), 283–299. Descargado 2023-09-28, de <http://www.jstor.org/stable/2550759>